

УДК 621.315.592

## ЭЛЕКТРОНОГРАФИЧЕСКОЕ ОПРЕДЕЛЕНИЕ СТРУКТУРНЫХ ПАРАМЕТРОВ НОВЫХ АМОРФНЫХ ПОЛУПРОВОДНИКОВЫХ ПЛЕНОК СИСТЕМЫ Yb-As-Te

Э.Г.ЭФЕНДИЕВ

Институт Физики АН Азербайджана  
370143, Баку, пр. Г. Джавида 33

Методом электронной дифракции с переменной экспозицией построены кривые радиального распределения атомов (КРРА) в аморфных пленках  $\text{YbAs}_4\text{Te}_7$  и  $\text{YbAs}_2\text{Te}_4$ . Энергия электронов – 100КэВ. Максимальные значения волновых чисел для  $\text{YbAs}_4\text{Te}_7$  и  $\text{YbAs}_2\text{Te}_4$   $16\text{\AA}^{-1}$  и  $12\text{\AA}^{-1}$ , соответственно. Установлено, что координационное число иттербия в исследованных соединениях равно 3, межатомные расстояния As-Te находятся в пределах  $2.55\text{-}2.75\text{\AA}$ , а As-Yb – в пределах  $3.80\text{-}4.30\text{\AA}$ .

Полупроводниковые материалы, содержащие в своем составе магнитные ионы, представляют практический интерес в связи с возможностью создания на их основе электронных приборов, управляемых внешним магнитным полем [1-4]. Есть сведения о перспективе использования этих материалов в акустооптике [5]. Аморфные слои, содержащие в своем составе редкоземельные элементы, образуют новый класс аморфных полупроводников [2], поэтому изучение их структуры, кроме чисто прикладного, имеют также самостоятельное научное значение.

Системы Ln-As-X относятся к этому классу материалов, где Ln – РЗЭ, а X- S,Se,Te. В массивном состоянии для них установлено существование соединений  $\text{YbAs}_4\text{X}_7$ ,  $\text{YbAs}_2\text{X}_4$  и  $\text{Yb}_3\text{As}_4\text{X}_9$  и определены сингонии и параметры решетки [6]. Однако, данных о параметрах соединений этих систем в аморфном пленочном состоянии очень мало [3,8,9], поэтому в данной работе поставлена задача получить пленки системы Yb-As-Te в аморфном состоянии и определить структуру их ближнего порядка. Система Yb-As-Te в массивных образцах изучена меньше, чем системы Yb-As-S(Se). На диаграмме состояния системы  $\text{As}_2\text{Te}_3\text{-Yb}$  в области концентраций 17,9-52,0 ат% Yb наблюдается образование перитектического соединения  $\text{YbAs}_4\text{Te}_7$ , а в области концентраций 23,5-83,0 ат% Yb – перитектического соединения  $\text{YbAs}_2\text{Te}_4$  [10].

Синтез монокристаллов  $\text{YbAs}_4\text{Te}_7$  и  $\text{YbAs}_2\text{Te}_4$ , которые мы использовали для получения пленок, осуществлен методом химической транспортной реакции. Состав монокристаллов контролировался методом химического анализа, монокристалличность проверяли методом микроструктурного анализа и снятием лаурограмм от различных участков образцов [10].

Для получения пленок тройных соединений, содержащих легколетучие компоненты и РЗЭ, нами была использована специальная методика испарения из квазизамкнутого объема, подробно описанная в [11]. Пользуясь этой методикой, испаряя монокристаллические массивные образцы  $\text{YbAs}_4\text{Te}_7$  и  $\text{YbAs}_2\text{Te}_4$ , нам удалось получить аморфные пленки этих соединений, о чем свидетельствовали структурные параметры закристаллизовавшихся аморфных пленок.

Основной метод, используемый нами, метод электронной дифракции на прохождение с переменной экспозицией [12]. Энергия электронов была  $\sim 100\text{KeV}$ . Это позволило осуществить регистрацию интенсивности до  $S_{\max}=16\text{\AA}^{-1}$  для  $\text{YbAs}_4\text{Te}_7$  и  $S_{\max}=12\text{\AA}^{-1}$  для  $\text{YbAs}_2\text{Te}_4$  и, тем самым учесть дальневолновое рассеяние электронов, содер-

жащее ценную информацию о межатомных расстояниях и координационных числах (Рис. 1,2).

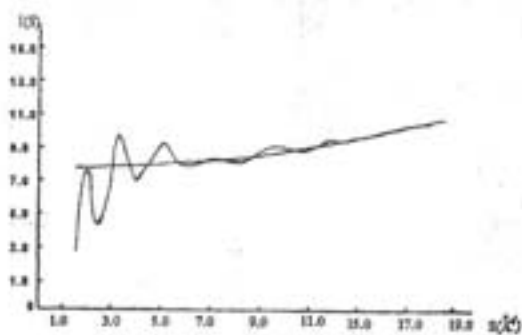


Рис.1

Кривая интенсивности рассеяния электронов в аморфных пленках  $\text{YbAs}_4\text{Te}_7$

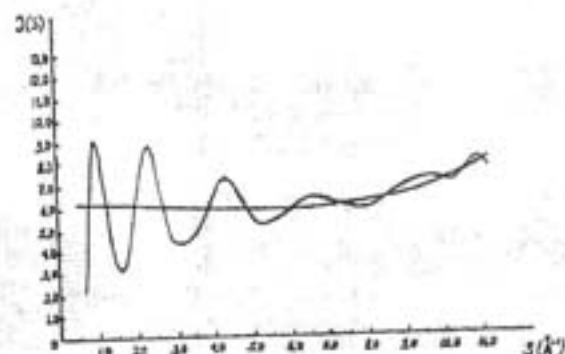


Рис.2

Кривая интенсивности рассеяния электронов в аморфных пленках  $\text{YbAs}_2\text{Te}_4$

На кривой интенсивности рассеяния электронов в аморфных пленках  $\text{YbAs}_4\text{Te}_7$  наблюдается 7 максимумов, причем 3 из них ярко выраженные (Рис.1). Максимумы соответствуют следующим значениям  $S$ :  $S_1=2,03$ ;  $S_2=3,30$ ;  $S_3=5,17$ ;  $S_4=7,14$ ;  $S_5=9,60$ ;  $S_6=11,9$ ;  $S_7=15,2$ . Нормировочный коэффициент определялся методом экстраполяции интерференционной кривой:  $\alpha=0,143$ .

Из кривой радиального распределения атомов в аморфных пленках  $\text{YbAs}_4\text{Te}_7$  (Рис.3) нами установлено, что расстояние As-Te равно  $2,75\text{\AA}$ , а расстояние As-Yb равно  $4,30\text{\AA}$ . Небольшая разница в теоретических и экспериментальных значениях межатомных расстояний может быть связана с погрешностью построения КПРА.

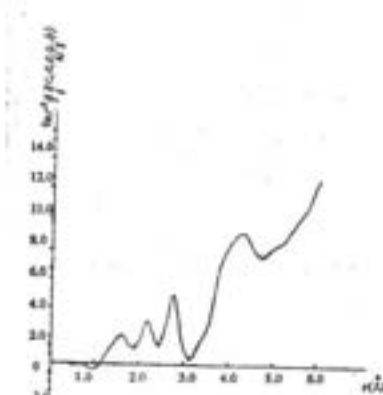


Рис.3

Кривая радиального распределения атомов в аморфных пленках  $\text{YbAs}_4\text{Te}_7$

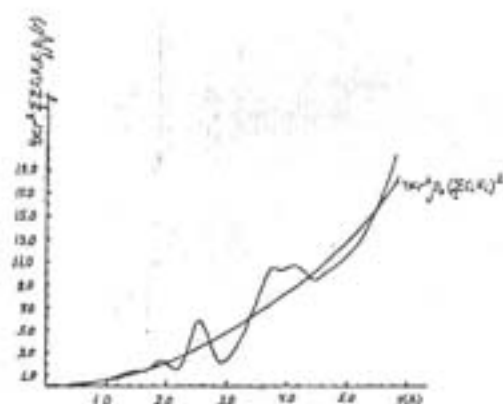


Рис.4

Кривая радиального распределения атомов в аморфных пленках  $\text{YbAs}_2\text{Te}_4$

При определении парциальных координационных чисел для аморфных пленок  $\text{YbAs}_4\text{Te}_7$  мы прежде всего исходили из формулы:

$$\sum_{i=1}^3 \sum_{j=1}^3 c_i k_i k_j n_{ij} = Q_i, \quad (1)$$

где  $n_{ij}$  – число атомов сорта " $j$ " около одного атома сорта " $i$ ",  $c_i$  – относительное количество атомов сорта " $i$ " в химической формуле,  $k_i$  – эффективная рассеивающая способность атомов сорта " $i$ ",  $Q_i$  – площадь под первым максимумом на КПРА.

По специально разработанной нами программе было получено 100 наборов парциальных координатных чисел для аморфных пленок  $\text{YbAs}_4\text{Te}_7$ , для которых вышеуказанный формула выполняется с наибольшей точностью при  $Q_1=2,66$ . Из полученных 100 наборов, нами рассматривались лишь те наборы, для которых выполняется условие  $n_i=0$ , если  $n_j=0$  и наоборот. Таких наборов из 100 оказалось 13. При выборе истинных парциальных координационных чисел для пленок аморфного  $\text{YbAs}_4\text{Te}_7$  мы исходили из того, что координационные числа мышьяка и теллура в  $\text{As}_2\text{Te}_3$ , на основе которого получено соединение  $\text{YbAs}_4\text{Te}_7$ , следующие:  $n_{23}=3$ ,  $n_{32}=2$ , индексом 1 обозначен  $\text{Yb}$ , 2 –  $\text{As}$ , 3 –  $\text{Te}$ . Если учесть, что в аморфных пленках атомы иттербия замещают атомы мышьяка, то для координационных чисел  $\text{YbAs}_4\text{Te}_7$  должны произойти следующие изменения относительно аморфного соединения  $\text{As}_2\text{Te}_3$ :  $n_{13} \rightarrow n_{13}$ ,  $n_{32} \rightarrow n_{31}$ , т.е. в аморфном соединении  $\text{YbAs}_4\text{Te}_7$ :  $n_{13}=3$ ,  $n_{31}=2$ . Среди вышеуказанных 13 наборов парциальных координационных чисел для аморфных пленок  $\text{YbAs}_4\text{Te}_7$  этим двум условиям удовлетворяет только один набор, для которого:  $n_{11}=0$ ,  $n_{12}=0$ ,  $n_{13}=3$ ,  $n_{22}=0$ ,  $n_{21}=0$ ,  $n_{23}=1$ ,  $n_{33}=0$ ,  $n_{32}=1$ ,  $n_{31}=2$ . Окончательно для аморфных пленок  $\text{YbAs}_4\text{Te}_7$  получаем, что около одного атома  $\text{Yb}$  имеется только 3 атома  $\text{Te}$ , других атомов около  $\text{Yb}$  нет.

На КРРА аморфных пленок  $\text{YbAs}_2\text{Te}_4$ , построенной по той же самой методике, что и для  $\text{YbAs}_4\text{Te}_7$ , отчетливо просматриваются 3 максимума при  $r_{1\max}=2,55\text{\AA}$ ,  $r_{2\max}=3,80\text{\AA}$ ,  $r_{3\max}=4,15\text{\AA}$  (Рис.4). Первый максимум на КРРА аморфного  $\text{YbAs}_2\text{Te}_4$  изолированный, а второй и третий можно рассматривать как один раздвоенный, свидетельствующий о разрыхлении атомов во второй координационной сфере аморфного  $\text{YbAs}_2\text{Te}_4$ .

Первый максимум на КРРА атомов аморфного  $\text{YbAs}_2\text{Te}_4$  отражает расстояние  $\text{As}-\text{Te}$ . Связь между атомами мышьяка и теллура является, преимущественно, ковалентной. Об этом может свидетельствовать сумма ковалентных радиусов мышьяка и теллура ( $2,58\text{\AA}$ ). Радиус же первой координационной сферы равен  $2,55\text{\AA}$ , т.е. разрыхление атомов в первой координационной сфере не наблюдается. Небольшая разница в значениях радиуса первой координационной сферы и суммы ковалентных радиусов мышьяка и теллура связана, по-видимому, с влиянием иттербия на связь  $\text{As}-\text{Te}$ . Ионы  $\text{Yb}^{+2}$ , также как в структуре аморфного  $\text{YbAs}_2\text{Te}_4$ , как нами было показано ранее [9], находятся во второй координационной сфере атомов мышьяка. Структура аморфного  $\text{YbAs}_2\text{Te}_4$  является, по-видимому, слоистой, также как структура аморфного  $\text{As}_2\text{Te}_3$ , а ионы  $\text{Yb}^{+2}$  в структурной сетке занимают такие же положения, как и атомы мышьяка.

Площадь под первым максимумом на КРРА аморфного  $\text{YbAs}_2\text{Te}_4$  равна 4,50. Из этого мы исходили для оценки парциальных координационных чисел для аморфного  $\text{YbAs}_2\text{Te}_4$ . По ранее описанной в данной статье методике нами установлено, что в аморфном  $\text{YbAs}_2\text{Te}_4$  ион  $\text{Yb}^{+2}$  окружен тремя атомами теллура.

Таким образом, координационное число иттербия в соединениях системы  $\text{Yb}-\text{As}-\text{Te}$  равно 3, причем все три атома являются атомами теллура. Определены межатомные расстояния в аморфных соединениях системы  $\text{Yb}-\text{As}-\text{Te}$ . Расстояние  $\text{As}-\text{Te}$  находится в пределах  $2,55-2,75\text{\AA}$ , а расстояния  $\text{As}-\text{Yb}$  в пределах  $3,80-4,30\text{\AA}$ .

1. П.Г.Рустамов, О.М.Алиев, Т.Х.Курбанов, *Тройные халькогениды редкоземельных элементов*, Баку, Елм, (1981) 214.
2. И.В.Золотухин, *Физические свойства аморфных металлических материалов*, М. Металлургия (1986) 176.
3. Э.Г.Эфендиев, А.И.Мамедов, Т.М.Ильясов, П.Г.Рустамов, *Изв. Академии наук СССР, Неорг. Мат.*, **23** (1987) 203.
4. Э.Г.Эфендиев, Т.М.Ильясов, А.И.Мамедов, П.Г.Рустамов, *Изв. Академии наук СССР, Неорг. Мат.*, **24** (1988) 1259.
5. В.И.Балакший, В.Н.Парыгин, Л.Е.Чириков, *Физические основы акустооптики*, М. Радио и связь, (1985) 278.

6. Т.М.Ильясов, *Физико-химические основы синтеза стеклообразных и кристаллических неорганических материалов на основе халькогенидов мышьяка, автореф... докт. хим. наук, Баку, (1992).*
7. E.G.Efendiye, E.Sh.Hajiyev, *J. Non Cryst. Solids*, **163** (1993) 29.
8. E.G.Efendiye, E.Sh.Hajiyev, R.A.Alizade, *Book of Abstracts of 11<sup>th</sup> International Conference of Ternary and Multinary Compounds, Salford, UK, 8-12 Sept., (1997).*
9. Э.Г.Эфендиев, Э.Ш.Гаджиев, Р.Б.Шафизаде, *Тезисы докл. I Всесоюзного симпозиума, Москва, (1991) 38.*
10. Т.М.Ильясов, Л.А.Мамедова, А.А.Мамедова, А.И.Мамедов, *Тематический сб. научных трудов БГУ, Баку, (1987) 133.*
11. Э.Г.Эфендиев, Э.Ш.Гаджиев, Н.Н.Романюк, *Получение аморфных пленок системы As<sub>2</sub>S<sub>3</sub>-Yb и их кристаллизация, Ин-т Физики АН Азерб., Баку, (1991) 10, (препринт №412).*
12. И.Д.Набитович, Я.И.Стецив, А.М.Андрейко, *Приборы и техника эксперимента, №3 (1976) 211.*

### Yb-As-Te SİSTEMİN NAZİK AMORF TƏBƏQƏLƏRİNİN YAXIN NİZAM PARAMETRLƏRİNİN TƏ'YİNİ

E.H.ƏFENDİYEV

Dayışan ekspozisiyadı elektronların difraksiyası ysulu ilə YbAs<sub>4</sub>Te<sub>7</sub> və YbAs<sub>2</sub>Te<sub>4</sub> amorf təbəqələrinin atomlarının radial paylanma əyrisi (ARPƏ) qurulmuşdur. Elektronların enerjisi 100KeV. YbAs<sub>4</sub>Te<sub>7</sub> və YbAs<sub>2</sub>Te<sub>4</sub> təbəqələri üçün maksimal dalğa edədləri, uyğun olaraq, 16Å və 12Å-dır. Müəyyən edilmişdir ki, tədqiq olunmuş birləşməlarda itterbinin koordinasya ədədi 3-e bərabərdir, As-Te atomlar arası məsafələr 2,55-2,75Å serhəddindən, As-Yb üçün 3,80-4,30Å serhəddindədir.

### DETERMINATION of STRUCTURES of NEW AMORPHOUS SEMICONDUCTORS FILMS in Yb-As-Te SYSTEM by ELECTRON DIFFRACTION METHOD

E.G.EFENDIYEV

Electron scattering intensity curves from amorphous YbAs<sub>4</sub>Te<sub>7</sub> and YbAs<sub>2</sub>Te<sub>4</sub> films have been obtained by electron diffraction method with variable exposition to  $S_{\text{min}}=16\text{\AA}^{-1}$  and  $S_{\text{max}}=12\text{\AA}^{-1}$  respectively. Amorphous state of this composition was confirmed by the crystallographic data obtained for crystallized films.

Atom radical distribution curve (ARDC) have been plotted for amorphous YbAs<sub>4</sub>Te<sub>7</sub> and YbAs<sub>2</sub>Te<sub>4</sub> films. In this films the average distances As-Te and As-Yb have been estimated.